

**DEFORMATION AND STRESS ANALYSIS OF SHEET BENDING MACHINE
DURING DYNAMIC LOADING**

**ANALÝZA DEFORMÁCIÍ A STAVU NAPATOSTI OHÝBAČKY PLECHU
PRI DYNAMICKOM ZAŤAŽENÍ**

Ostertag O., Sivák P.

The results of this analysis was determined by using strain gauge measuring during various working conditions on the most dynamic loading parts of sheet bending machine XOCM 2000/4. This results with connection or confrontation with theoretical calculations are foundations for possibility of increase exploitation of this bending machine, especially 5 mm thickness tin bending possibility.

Úvod

Požiadavka zvýšenia možnosti využitia ohýbačky XOCM 2000/4 pre ohýbanie plechov o max. hrúbke 5mm pri dodržaní štandardnej kvality nás viedla k overeniu si teoretických výpočtov experimentom.

Mechanickej ohýbačke plechu s elektrickým pohonom je určená pre kusovú a malosériovu výrobu ohýbaných profílov max. šírky 2000mm a hrúbky 4mm do uhla 135°. Kvôli zvýšeniu tuhosti ohýbacej čeluste je na nej namontovaný predpínací mechanizmus s ocelovým tiahom (materiál oceľ 15 230). Upínanie čeluste a ohýbacia čelust' sú vyrobené z tvárnej liatiny 42 2305 a uložené medzi pravý a ľavý stojan krabicového tvaru tiež z tvárnej liatiny.

Meracie miesta a popis merania

K dosiahnutiu cieľa bolo potrebné stanoviť miesta

aplikácie odporových tenzometrov. Najvhodnejšou cestou pre určenie takého miest je možnosť merania pri statickom zaťažení. Pretože ohýbačka plechu toto neumožňuje, rozhodli sme sa použiť pre prvotné určenie miest maximálneho namáhania teoretické výpočty. Druhým krokom pre potvrdenie tohto rozhodnutia bolo tenzometrické meranie špičiek deformácií vo vybraných miestach ohýbačky (bočný pohľad na obr.1 a čelný pohľad na obr.2) pomocou tenzometrických aparatúr P3500, 3650 a SB10 fy VISHAY.

Jednotlivé meracie miesta respektíve snímače boli označené takto: Meracie miesto 1 tvorila dvojica snímačov na tyči predpínacieho mechanizmu so sériovým spôsobom zapojenia, kompenzuúcim vplyv ohýbového momentu. 2,9 boli sólo snímače a snímače 10,11,12 tvorili ružicu 45° s aplikáciou na ohýbacej čel'usti.

Túto prívusku skupinu meraní sme vykonali pri niektorých režimoch prevádzky ohýbačky plechu. Z výsledkov merania špičiek deformácií sme dospeli k záveru, že pre ďalšie meranie nie je potrebné uvažovať ružicu (snímače 10,11,12). Ostatné predpoklady sa potvrdili v súlade s teoretickými výpočtami.

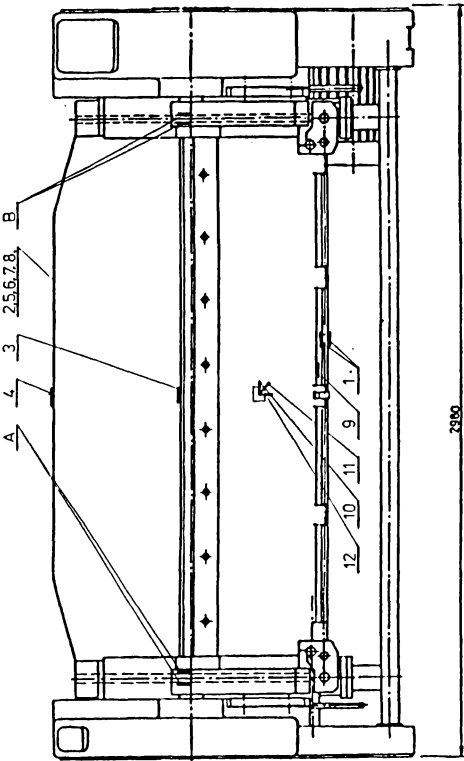
Pri ďalšej skupine meraní sme použili merací systém M1000 prepojený s oscilografickým zariadením. Po prehodnotení meracích miest pribudli meracie miesta 3,4 a 5 so sólo snímačmi aplikovanými na hornej upínacej čel'usti, 6,7 a 8 so sólo snímačmi aplikovanými na dolnej upínacej čel'usti.

Výstupný oscilografický záznam presne zachytil dynamické chovanie stroja, čo z hľadiska pevnosti a tuhosti je predovšetkým závislosť deformácie na čase. Zo štatistického hľadiska sme meranie vykonali pri vopred zvolených režimoch (hrúbka ohýbaného plechu, vysunutie plechu do pracovného priestoru, nastavenie upínacej čel'uste, zaradený-vyradený predpínací mechanizmus, atď.) viacnásobne.

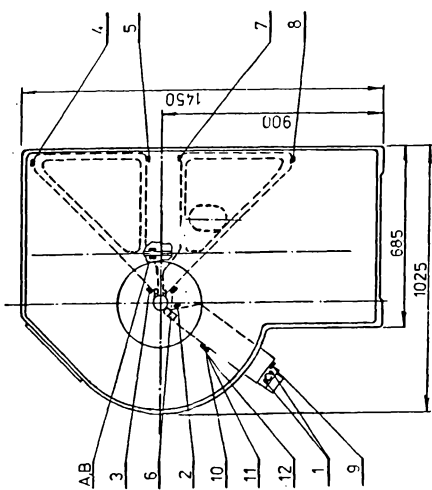
Okrem uvedených miest snímania deformácií sme sa rozhodli preveriť ako sa budú správať pohybové skrutky hornej čel'uste, na ktorú sme aplikovali snímače A a B. Na pohybových skrutkách sme sa rozhodli zistiť len špičky deformácií pomocou aparatúry fy VISHAY za rovnakých podmienok prevádzky ako pri druhej skupine meraní.

Záver

Na základe získaných špičiek deformácií z 1. a 2. skupiny meraní sme zostavili tabuľku 1, v ktorej sú prehľadne zhrnuté vypočítané maximálne hodnoty normálových napäť v sledovaných miestach povrchu ohýbačky. V pripojených grafoch sú znázornené vybrané charakteristiky závislosti normálového napäťa na čase, reprodukované z oscilografických záznamov zaregistrovaných oscilogramom 8 LS-1. Uvedené grafy reprezentované výsledkami v tab.1 umožňujú ucelený pohľad na dynamické chovanie sa ohýbačky plechu v priebehu jedného pracovného cyklu.



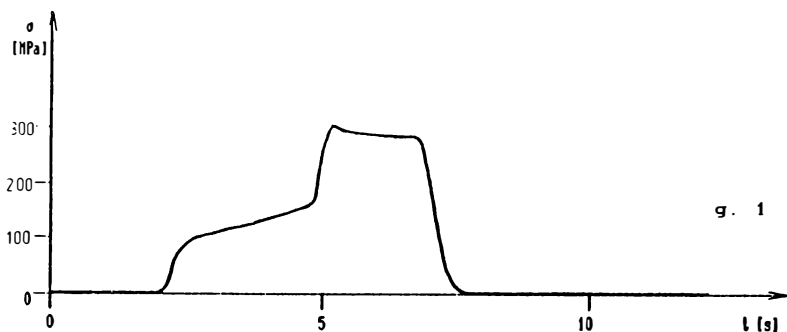
obr. 2

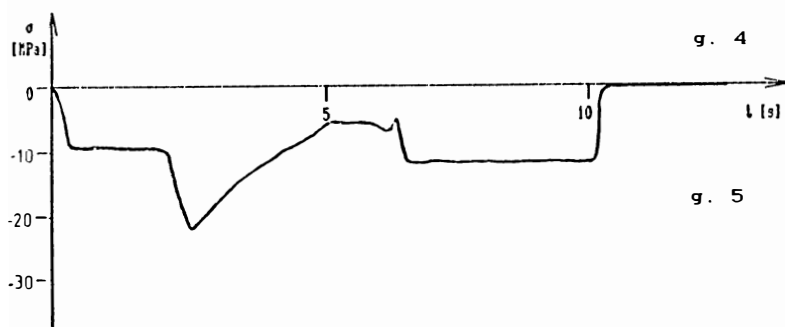
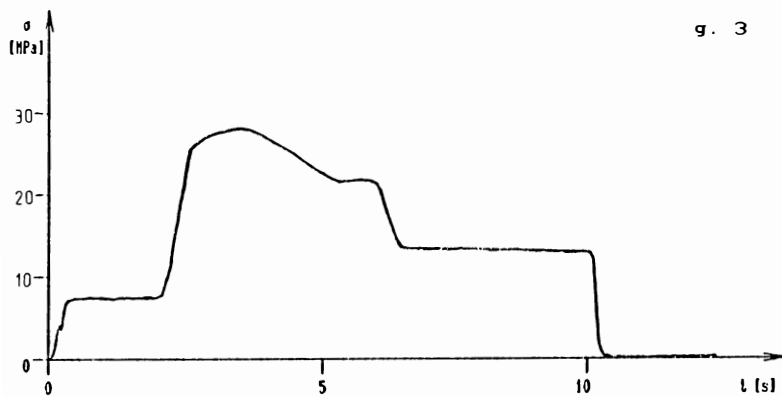
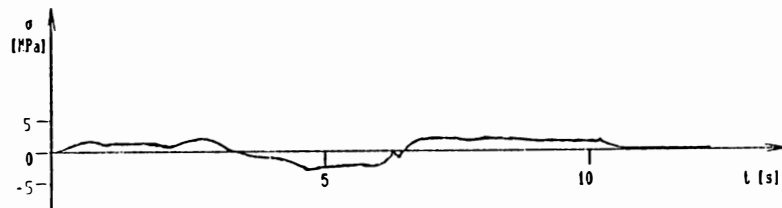
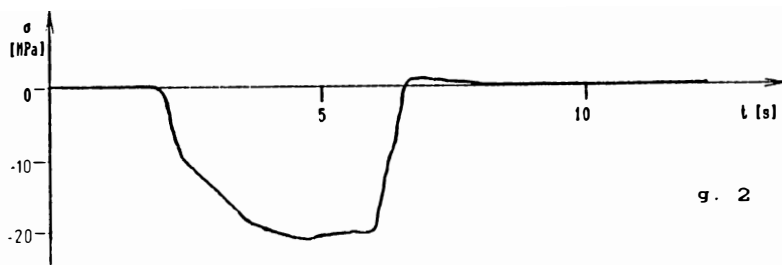


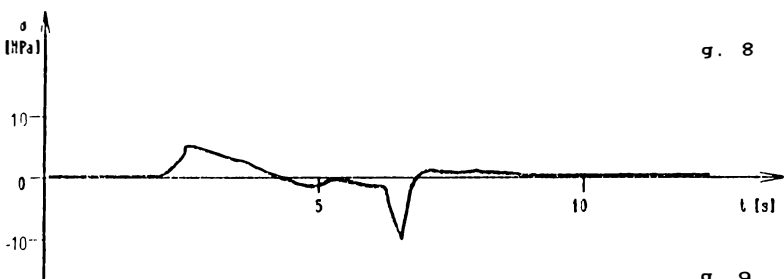
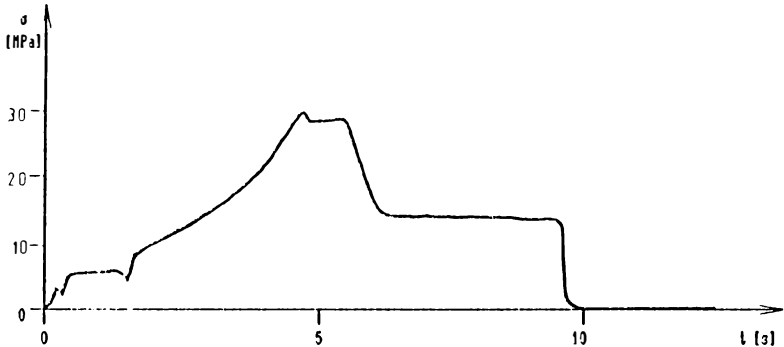
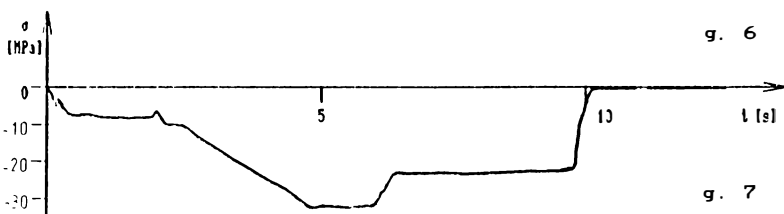
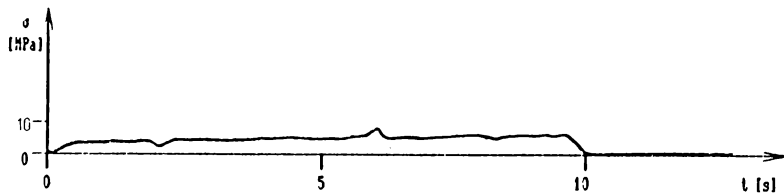
obr. 1

sík	1. skupina meraní		2. skupina meraní		graf
	max σ_{ax} [MPa]	č. m.	max σ_{ax} [MPa]	č. m.	
1	241,5 / -20,4	VI / VI	295,8	33	g. 1
2	-24,2	III	-21,8	18	g. 2
3	x	x	2,5 / -2,9	2 / 11	g. 3
4	x	x	31,0	30	g. 4
5	x	x	-22,3	2	g. 5
6	x	x	7,9	5	g. 6
7	x	x	-33,4	4	g. 7
8	x	x	31,0	30	g. 8
9	9,0 / -7,8	III / VI	15,4 / -9,6	38 / 15	g. 9
10	$\sigma_2 = -4,8$ $\sigma_3 = -11,2$		x	x	—
11	III		x	x	—
12	x	x	71,4	21	—
A	x	x	75,0	30	—
B	x	x	75,0	30	—
tab. 1					

■ ružica 45° ■







Ing. Peter SIVÁK, Ing. Oskar OSTERTAG
Katedra technickej mechaniky a pružnosti, Strojnícka fakulta
TU Košice.
Tel.: 095-35312, Fax: 095 34738
Letná 9, 040 02 Košice.